

砂のせん断時におけるエネルギー式について

神戸大学大学院 学生員 石田 一郎  
 神戸大学工学部の学生員 園井 哲士郎  
 同上 正員 軽部 大蔵

まえがき 変位の拘束を受けぬ砂のせん断特性を調べることは、砂石上の建設問題の解析に有用である。筆者等は、飽和砂の排水(C.D.)及び非排水(C.U.)で三軸圧縮試験を行い、エネルギーの釣合に着目して解析を試みる。

1. 試料 真空ポンプを用いて飽和させた豊浦標準砂(土粒子比重:2.65 均等係数:1.50)及び海砂(Gs:2.63 U<sub>c</sub>:2.17)を使用し。

2. 実験方法 直径3.50cm, 高さ2.50cmの内径供試体を用い、圧密圧力(0.5, 0.75, 1.0kg/cm<sup>2</sup>)で圧密後、側圧一定でヒズミ制御法(0.35mm/min)によりC.D., C.U.試験を行う。又、補足的に等方圧密試験を行い、解析の補助をし。尚、排水条件の異なる試験を行うため、計器を水銀コンメーターを用いて、厳密に検定し。

3. 解析の前提 解析に先立ち、「membrane misfit」の補正を施し。Fig. 1の $\epsilon_p - \epsilon_s$ ,  $v$ (体積ヒズミ) -  $\epsilon_s$ 及び  $u$ (間けき水圧) -  $\epsilon_s$ の代表的な関係を示したが、排水と非排水の強度に差があるのが明らかである。解析はこの図の関係をもとにして行われ。

エネルギー式は一般に、「供給エネルギーSE」と「内部消散エネルギーSW」と「蓄積エネルギーSU」の和に等しいことから得られる。この関係は排水条件によらず成立するので、排水条件の異なるせん断試験結果の比較に用いられた。内部仕事の表現方法は研究者によって異なっているので、ここではRowe系とRoscoe系を大別し、解析した。その際、元カパラメータ及びヒズミパラメータは、各々について両者の考え方に従うものとした。(文献1,2)

内部摩擦角及び間けき比は、一括してTable 1.に示した。

4. Roweの解析法 Roweは「stress-dilatancy式」を基礎として、塑性成分(1/2で表わす)について、せん断時のエネルギー成分を考えた。「stress-dilatancy式」、即ち、

$$\tan^2(\phi_s/2 + 45) = (\sigma_1/\sigma_3) / (1 - \delta\sigma/\delta\epsilon_s) = K_{ps} \quad (1)$$

における $\delta\sigma$ を供試体の摩擦角としく、「正応力差 $\delta\sigma$ 」の塑性仕事(SW)<sub>p</sub> =  $\delta\sigma\delta\epsilon_s$ を次の3成分に分ける。膨張が生じる時の全吸収エネルギー(SW<sub>abs</sub>)は式(2)で示される。

$$S(W_{abs}) = \delta\sigma\delta\epsilon_s(1 - \delta\sigma/\delta\epsilon_s)(K_{ps} - 1) \quad (2)$$

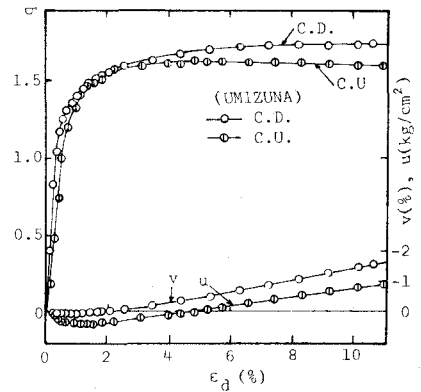
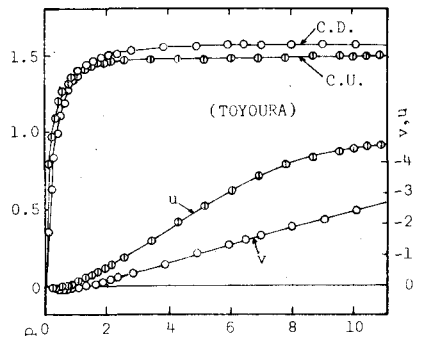


Fig. 1

従、又、1)「膨張を除いた可なり」の吸収土の工率  $\sigma - S(W_{i,0})$ 、2)「膨張による摩擦」の吸収土の工率  $\sigma - S(W_{i,d})$ 、3)「膨張による外部」の可なり仕事  $S(W_{e,d})$  は、各々、次式で表わされる。

$$S(W_{i,0}) = \sigma_s \{ \sigma_{e1} / (K_p - 1) \} \quad (3)$$

$$S(W_{i,d}) = \sigma_s \{ \sigma_{e1} (1 - \delta \sigma / \sigma_{e1} \sigma) \} (K_p - 1) \quad (4)$$

$$S(W_{e,d}) = \sigma_s \{ \sigma_{e1} \sigma - \delta \sigma \sigma_{e1} \sigma \} \quad (5)$$

次に非排水状態を考えると、(1)式より此非排水状態と限界状態の区別が得られる。非排水状態は外部の  $\sigma_{e1} = 0$  であるが、可なりによる体積変化は内部で発生しており、その体積変化を相殺する様な「平均有効応力  $\sigma'_p$  の仕事」が存在すると仮定し、限界状態と区別してみよう。非排水の体積変化に対応する  $\sigma$  の  $\sigma < C \cdot (\sigma_p - \sigma_u) = C \cdot \delta \sigma = \delta \sigma_{e1} \sigma$  とおき、「stress-dilatancy 式」を拡張すると次式を得る。

$$\tan^2(\alpha/2 + 45) = (\sigma'_i / \sigma'_s) / [1 - \delta \sigma / \sigma_{e1} \sigma] = (K_p \sigma_{e1} \sigma) \quad (1')$$

$$S(W_{i,0}) = \sigma_s \{ \sigma_{e1} \} (1 - \delta \sigma / \sigma_{e1} \sigma) \cdot (K_p \sigma_{e1} \sigma - 1) \quad (2')$$

$$S(W_{i,d}) = \sigma_s \{ \sigma_{e1} \} (K_p \sigma_{e1} \sigma - 1) \quad (3')$$

係数  $C$  のついて、 $\delta \sigma$  による体積変化増分は圧密に相当すると考え、等方圧密曲線の勾配を用いて、計算結果は Fig. 2. とおり、結局得られた内部摩擦角 (C.D.C.U.) をそれぞれ  $\phi'_1$  と表わす) は Table 1. の様になる。工率  $\sigma$  - 成分は排水条件とは無関係にある程度一致するところから、非排水状態は  $\sigma_{e1} = 0$  を導入するこゝの有効性が示唆される。 $S(W_{i,d})$  は良く一致するが、 $\phi'_1$  及び、 $S(W_{i,0})$  が一致しないという点、圧密に何らかの影響因子を重ね合わせる必要性を示すものであると考え得る。

以上の結果より、「dilatancy」が非排水状態の可なりにも存在すると考えよとせよ。又、Rowe の解析は拡張され得ると推察される。

5. Roscoe の解析法 Roscoe の工率  $\sigma$  - 式は次式で表わされる。

$$\sigma \cdot \sigma_e + p \cdot \sigma_e = M \cdot \sigma_e + p \cdot \sigma_e \quad (6)$$

ここに、 $M$  は限界状態における  $\sigma$  の値であり、 $\sigma_e = (2/3) \cdot (\sigma_{e1} - \sigma_{e3}) = (2/3) \sigma_{e1}$  である。C.D. 試験の結果から、等方圧密より推定した  $\sigma_e$  を用いて、(6)式より  $M$  を求める。  $M$  は一般に  $M = \sigma \sin \alpha / (3 - \sin \alpha)$  と示されるから、これより  $\phi_{cv}$  を求めると Table 1. の結果を得る。理論の本質的相違は  $\phi_{cv}$  から  $\phi_{cv} = \phi'_1$  となり。

Table 1

| C. D. - Test |            |        |       |          |          |             |
|--------------|------------|--------|-------|----------|----------|-------------|
| TOYOURA      | $\sigma_s$ | $\phi$ | $e_f$ | $\phi_d$ | $\phi_f$ | $\phi_{cv}$ |
|              | 0.5        | 0.721  | 42.68 | 32.08    | 31.26    |             |
|              | 0.75       | 0.726  | 38.40 | 28.19    | 28.02    |             |
|              | 1.0        | 0.735  | 41.10 | 29.16    | 28.62    |             |
| 海砂           | 1.0        | 0.649  | 42.31 | 35.41    | 34.95    |             |

| C. U. - Test |            |        |       |         |           |              |
|--------------|------------|--------|-------|---------|-----------|--------------|
| TOYOURA      | $\sigma_s$ | $\phi$ | $e_0$ | $\phi'$ | $\phi'_f$ | $\phi'_{cv}$ |
|              | 0.5        | 0.763  | 39.84 | 32.31   | 30.05     | (32.06)      |
|              | 0.75       | 0.737  | 36.73 | 32.37   | 34.98     | (32.18)      |
|              | 1.0        | 0.725  | 37.79 | 31.58   | 34.22     | (31.49)      |
| 海砂           | 1.0        | 0.631  | 39.76 | 36.87   | 37.28     | (36.09)      |

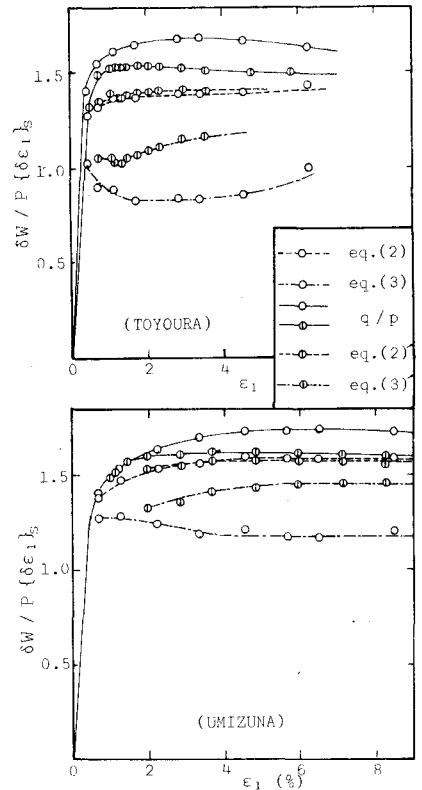


Fig. 2

次に非排水状態について考えると、(6)式かられば、

$$\delta E_1 = M\beta\delta E_1 + \beta'\delta W_1 e \quad (7)$$

となり、非排水状態において弾性エネルギーの蓄積がなされることとなる。(7)式に従って、今、体積比ミの弾性成分が $\beta\delta p$ より生じるとして、 $\delta W_1 e = \alpha\beta\delta p$ で表わされ、(7)式は次の様く書き換えられる。

$$\delta E_1 = M\beta\delta E_1 + \alpha\beta\delta p \quad (8)$$

$\alpha$ を等方圧密時の膨潤曲線の勾配にすると、Fig. 3.の結果を得る。排水時の $M$ より大きい結果となっているが、この事は、膨潤時のエネルギー消費以外に要因のあることを示すものと思われる。

今一つの考え方をして、等体積せん断が非排水せん断と同様の結果を与えよとことから、非排水状態では、

$\delta W = M\beta\delta E_1$ の他に、「見掛け上等体積を保つための

の仕事」が加わると考えることがあられる。そこで、(7)式の右辺に見掛け上の塑性体積比 $\delta p$   $\alpha\beta\delta p = \delta W_1 e$ に対する仕事  $(\beta\delta W_1 e)$  を加えると、

$$\begin{aligned} \delta E_1 &= M\beta\delta E_1 + \beta'\delta W_1 e + \beta\delta W_1 e \\ &= M\beta\delta E_1 + \{ \delta W_1 e + \beta\delta W_1 e \} \cdot \beta' \end{aligned} \quad (9)$$

となる。

そこで、 $\{ \delta W_1 e + \beta\delta W_1 e \} = C\delta p$  で表わして、近似的に等方圧密曲線から求めて計算した。結果をFig. 3. Table 1. に示す。この場合の摩擦角を $\phi_0$  で表わすと、Roweの $\phi_0$ のほぼ等しい結果を得た。

排水状態と非排水状態の $M$ の相違を考えると、一般に排水試験から得られる摩擦角 $\phi_0$ にBishopの補正(膨張によって外部に生じた仕事のための補正)を加えると、 $\phi_0$ が一致すると思われるが、これを前提として上述の計算を行うと、排水時の $M$ に極めて近い値が得られた。

## 6. 結論

微視的な立場から見た場合の理論の本質的相違に加え、応力パラメータとヒギパラメータの相違が、RoweとRoweを隔てている。しかし、非排水条件に、

- ① 弾性成分の蓄積 或は、② 見掛けの体積比 $\delta p$ に対する仕事 を導入するに比べて、
- ①、試験結果は排水条件から不統一の解析し得る可能性を持っている。

## 参考文献

1. Rowe (1963) "A theoretical and experimental study of strains in triaxial compression tests on normally consolidated clays." Géotechnique Vol. 13, No. 1.
2. Rowe (1964) "Energy components during the triaxial cell and direct shear tests." Géotechnique Vol. 14, No. 3

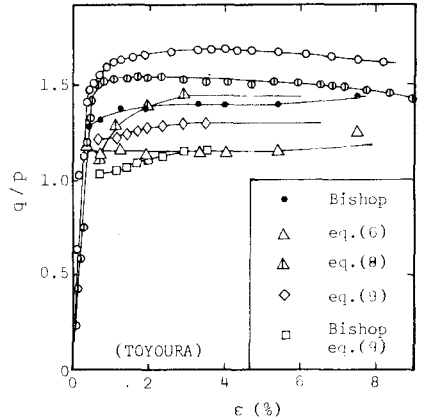


Fig. 3